



Analyse de défaillance des transistors MOSFET

Du boîtier, jusqu'à l'atome

Olivier Latry

06 avril 2021



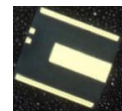
Composants de puissance en boîtier



Diode SiC



HEMT GaN RF



Power GaN



MOSFET SiC

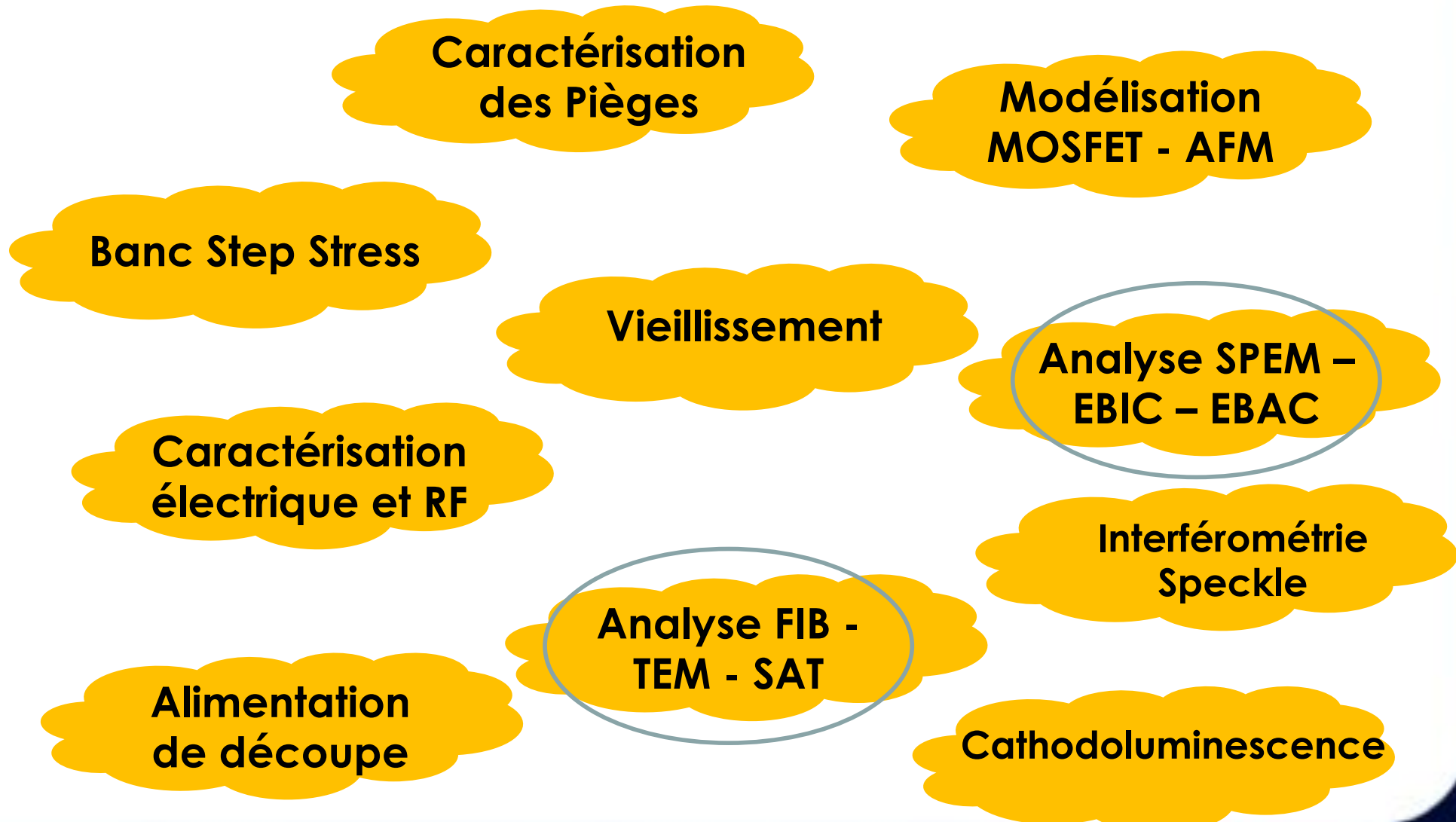
💡 Principaux travaux sur les composants de puissance grand gap.

💡 Parc instrumental du laboratoire permettant :

- 💡 la caractérisation fine,
- 💡 la préparation d'échantillons,
- 💡 l'analyse non destructive,
- 💡 l'analyse destructive du MEB à la sonde atomique

💡 The main purpose is to explain the correlation between electrical characterisation and physical analysis with the instrumental platform of the laboratory.

The main purpose is to explain the correlation between electrical characterisation and physical analysis with the instrumental platform of the laboratory.

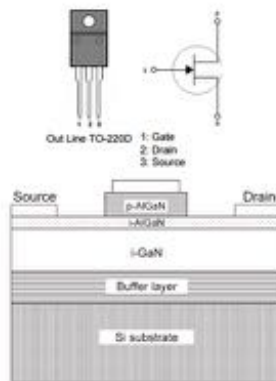


• Projet EMOCAVI

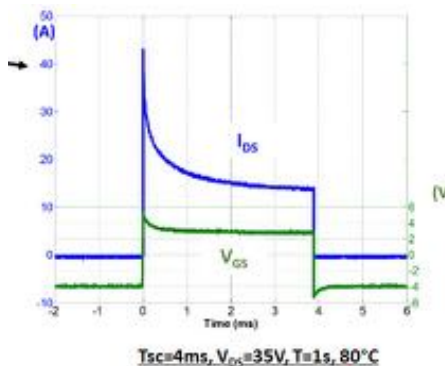
EMOCAVI (2016-2020) (collaboration GPM+IRSEEM)

European research program for SiC MOSFET transistor reliability at high temperature.

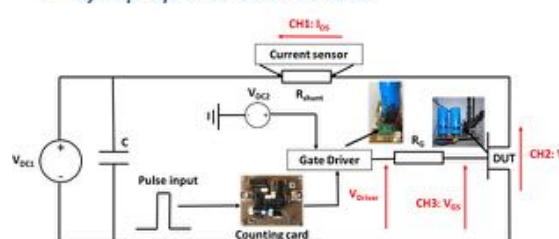
Evolution des MOdèles des Composants de puissance grand gAp au cours du Vleillissement



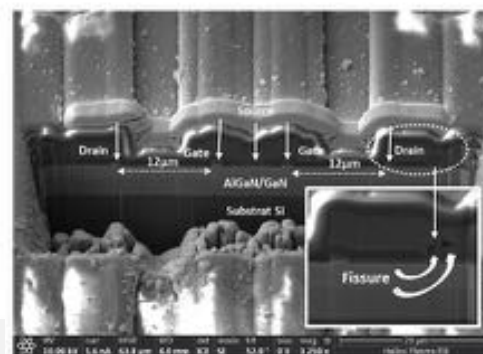
✓ Normally on -> Normally off



> Synoptique du banc de test



> Analyse microstructurales en MEB



Vue de la découpe par PFIB pour le composant à l'état dégradé (PAC#2)

- $V_{DS}=V_{DC1}$
- Pulse répétitif -> Commutation répétitive
- $T_{sc} \rightarrow I_{DS} * V_{DS} * I_{DS} * T_{on} = E$ (énergie dissipée) -> L'élévation de température
- Une dégradation -> Suivi des paramètres électriques

- Le défaut est clairement montré dans la zone de drain, ce qui se traduit par des fissures dans le métal d'Al.
- La conséquence du champ électrique drain-source et l'élévation de température.

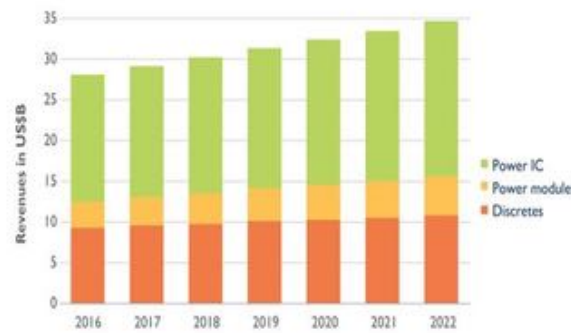
Aussi observé pour le PAC#4 (28000 pulses, 4ms)

• Projet PHC TOUBKAL

PHC TOUBKAL (2017-2019)

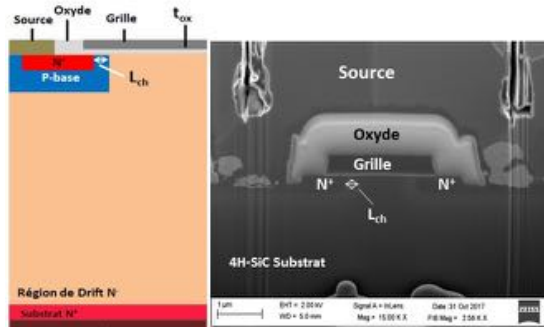
34k€ Université Abdelmalek ESSAADI Tétouan ENSA Tanger
Université Abdelmalek. ESSAADI Tétouan ENSA Tanger

Fiabilité des composants électroniques de puissance: Impact sur les performances des systèmes de conversion d'énergie

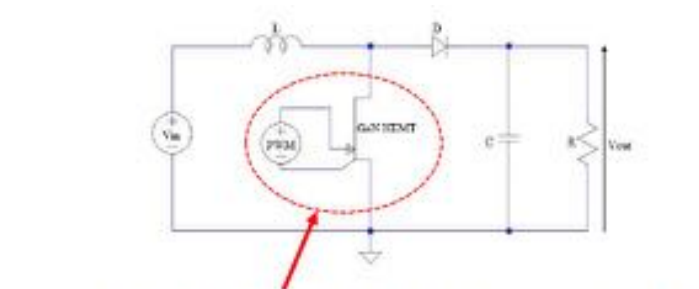
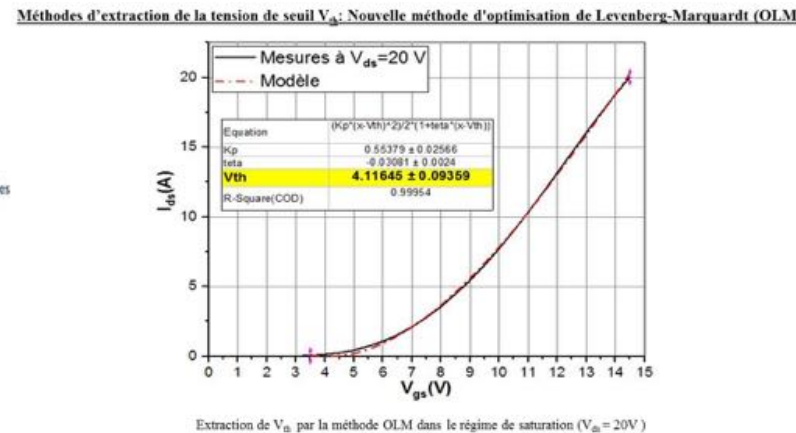


• Contrainte d'intégration

Implémentation de la structure :

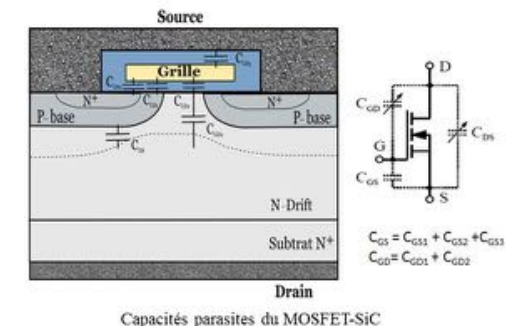


Structure du VD-MOSFET simulé



Modèle du transistor GaN vieilli dans un convertisseur DC Boost

Mesure des caractéristiques C-V:



Effects of aging on power

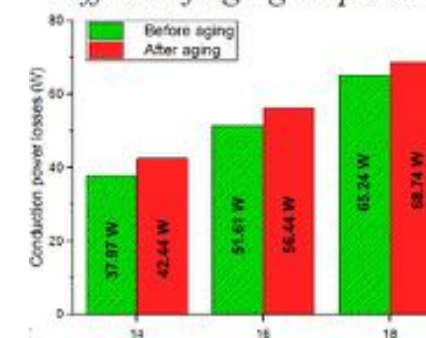


Fig. 3: Conduction power losses of DC-DC boost converter before and after aging

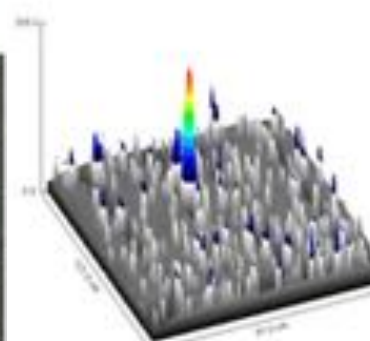
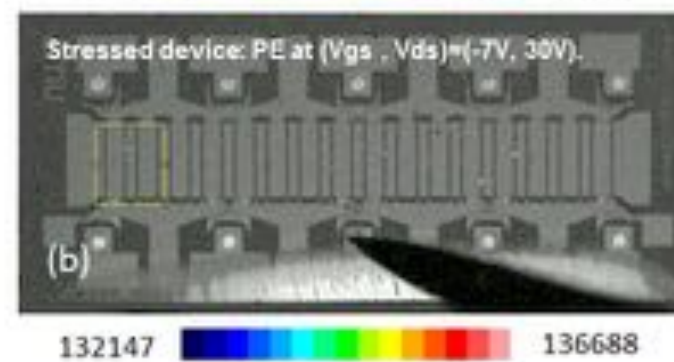
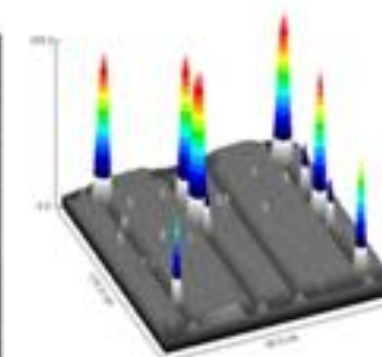
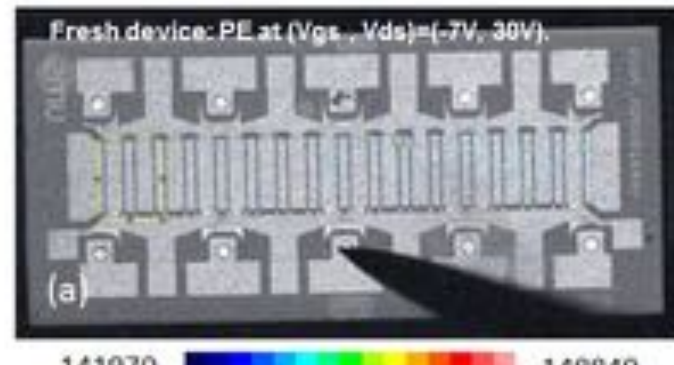
W. Jouha, "Etude et modélisation des dégradations des composants de puissance grand gap soumis à des contraintes thermiques et électriques," 2019.

- Projet FUI 16 FIRST-MFP

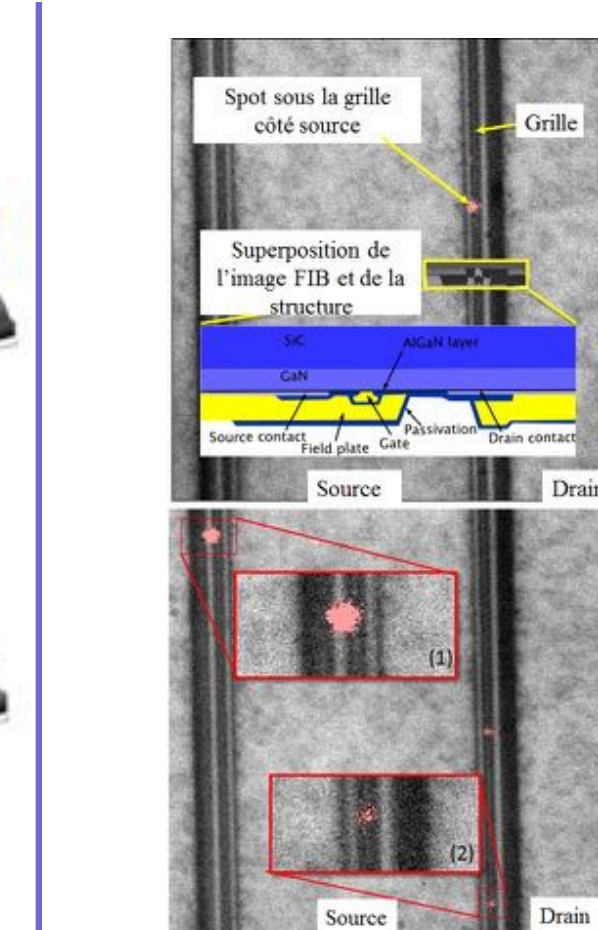
Label MOVEO, ASTEC, NAE, (2014-2017)

Improving the reliability and resistance of high-power mechatronic systems

Failure analysis in spectral photoemission microscopy.



Test de vieillissement RF (RF-HTOL *)
Baisse du courant de fuite
Baisse de l'intensité de PE

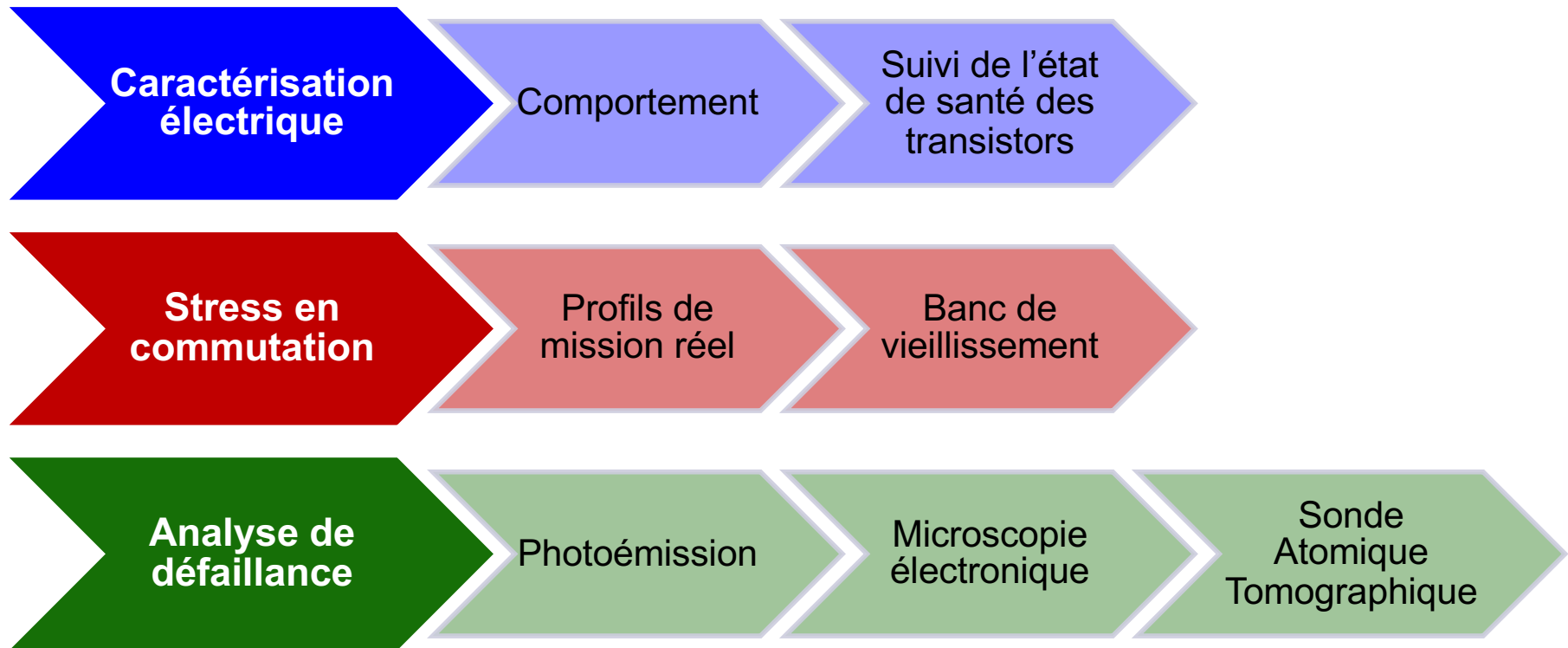


=> Identification de 3 différentes types de spots

N. Moultif, "Analyse de défaillance dans les transistors de puissance grand gap par électroluminescence spectrale," 2017.

* RF-HTOL: Radio frequency high temperature operating life

Démarche pour les composants de puissance

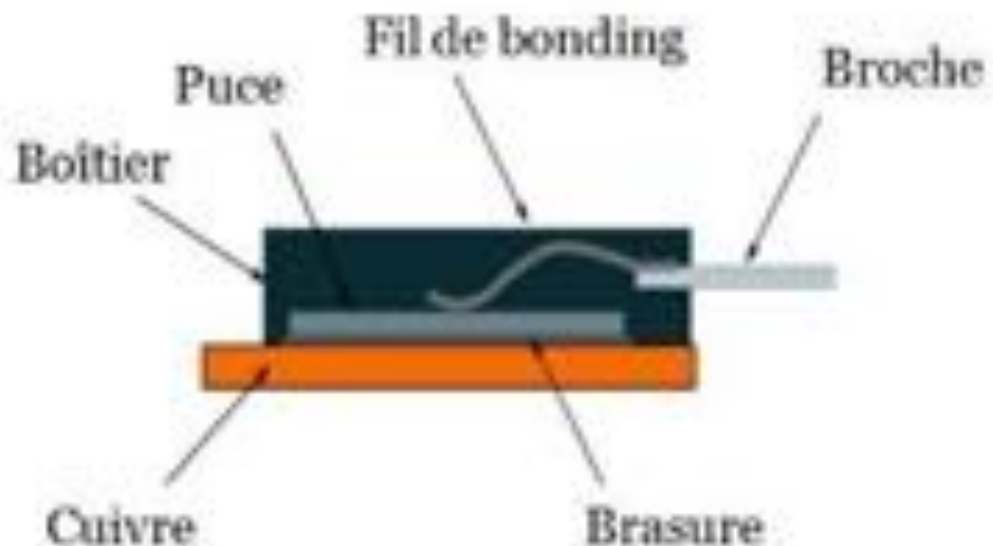


Analyse de défaillance des composants MOSFET

Generation	Ref.	$I_{ds}(\text{max})$	$V_{ds}(\text{max})$	$T_c(\text{max})$
Gen2L	C2M0280120D	10 A	1200 V	150°C
Gen2H	C2M0160120D	19A	1200V	150°C
Gen3L	C3M0280090D	11,5 A	900V	150°C
Gen3H	C3M0120090D	23 A	900V	150°C



Boîtier TO 247



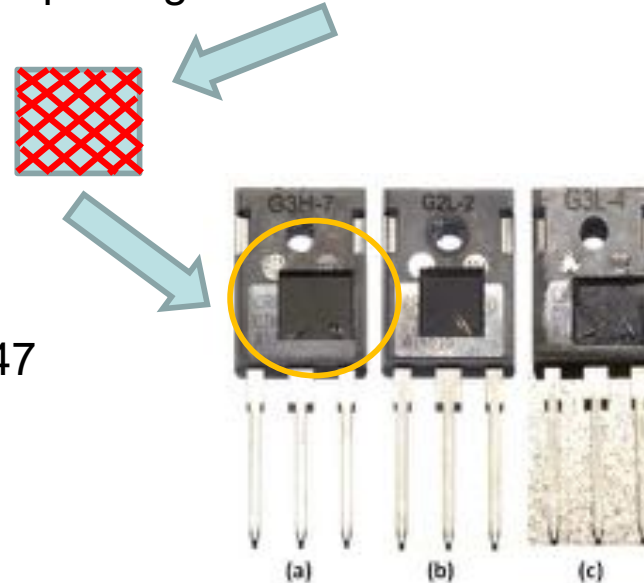
Préparation : Ablation laser



Ablation laser sur boîtier TO247
Sur 3 échantillons MOSFET
Forte et moyenne puissance

Utilisation d'un laser de 20W pulsé
Laser à fibre Ytterbium de 1mJ de
1064nm

Réalisation d'une géométrie et plusieurs
passages suivant des motifs choisis

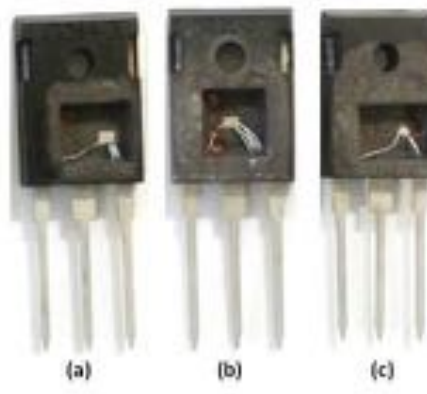


Préparation : Attaque chimique



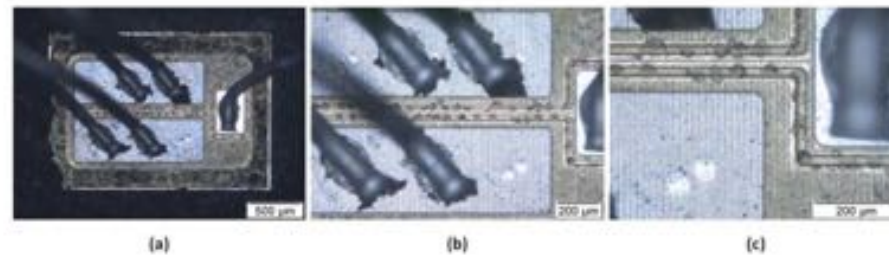
Sous hôte aspirante, avec acide sulfurique ou nitrique fumant sous une température de 80°C à 100°C contrôlée.

Dissoudre la résine sans toucher aux métaux.
Fils aluminium, couche de passivation

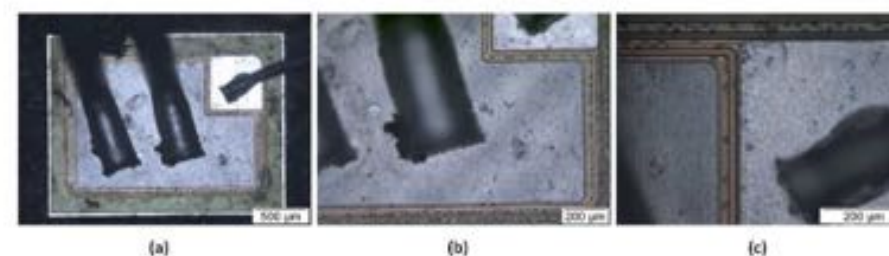


Préparation : Observation optique

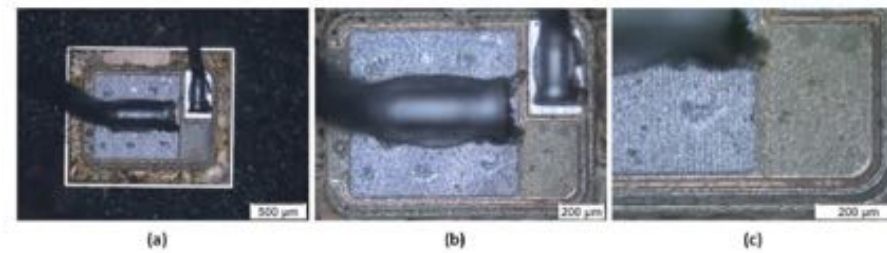
Gen2L



Gen3H

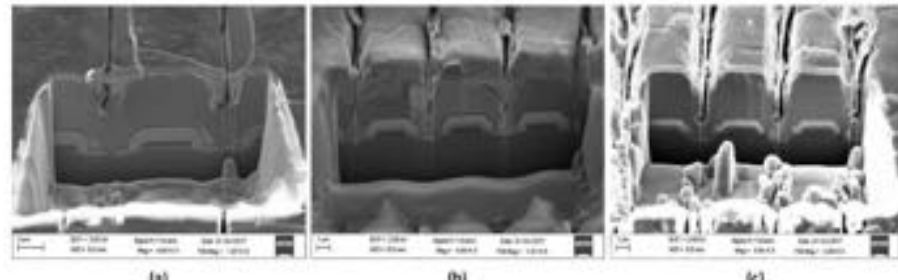
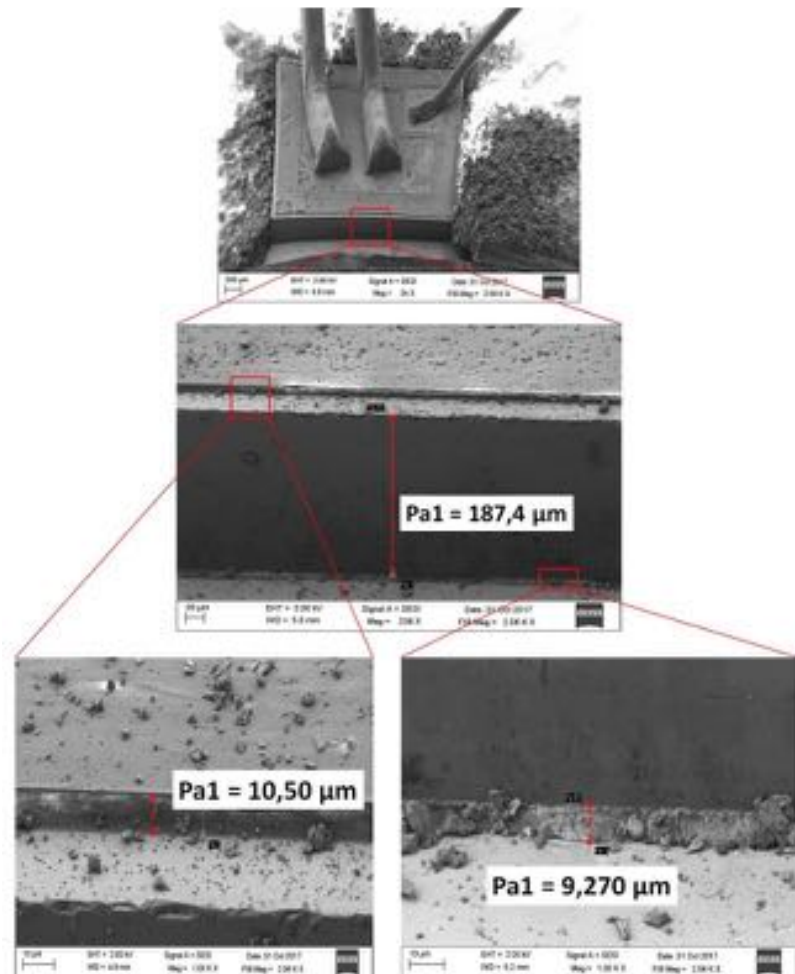


Gen3L

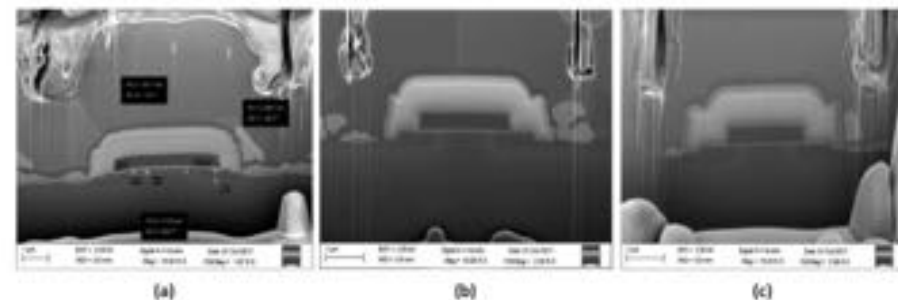


Agrandissement (a) 5x, (b) 10x, (c) 20x

Observation au microscope électronique à balayage

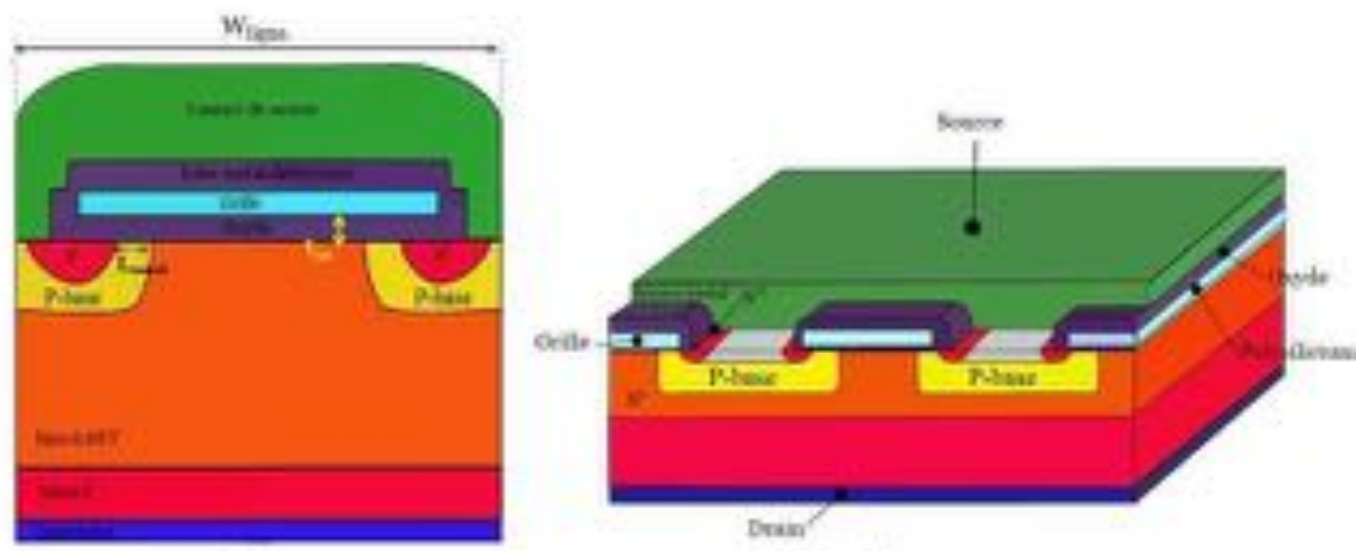


Gen2L Gen3H Gen3L



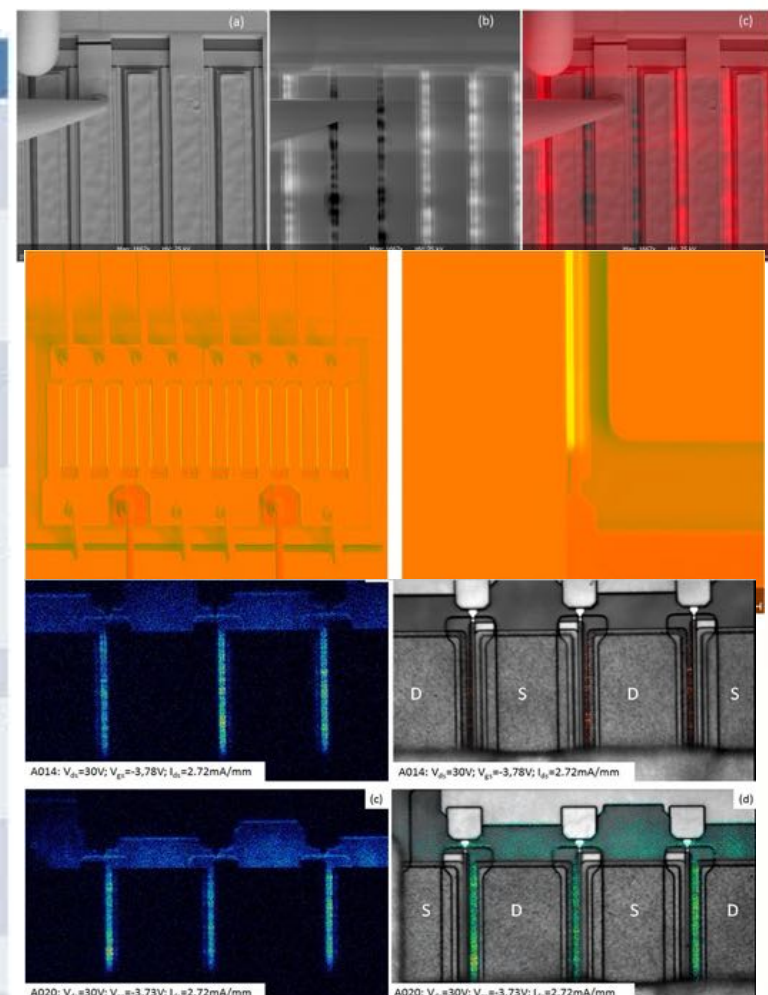
Observation générale

	Taille de la puce ($\mu m \times \mu m$)	Nombre de ligne	Largeur de la ligne (μm)	Largeur du canal (nm)	Épaisseur d'oxyde (nm)
G2L	1447 x 2105	186	9,3	550	50
G3H	1763 x 2236	316	5,9	320	30
G3L	1342 x 1605	197	6,1	290	30

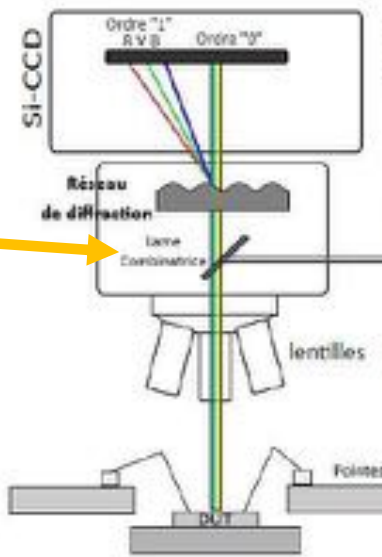
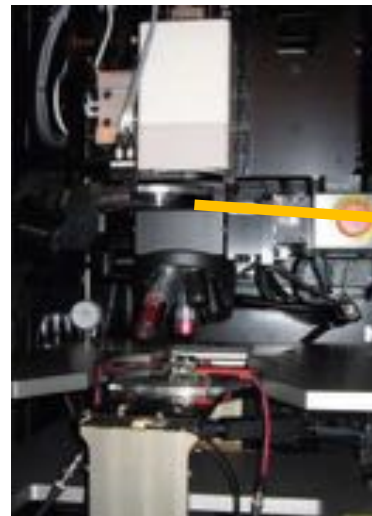


Technique de localisation de défauts

Technique	Type des défauts localisés	Limitations
CIVA	<ul style="list-style-type: none"> Interconnexions ouvertes Défaut d'oxyde 	<ul style="list-style-type: none"> La présence de couches épaisses de passivation nécessite une forte énergie du faisceau d'électrons pour atteindre le conducteur ce qui augmente le risque d'irradiation
EBIC	<ul style="list-style-type: none"> Dégénération de jonction Défauts actifs (Précipités, joints de grains) Dislocation 	<ul style="list-style-type: none"> Couteuse car nécessite d'être sous vide Problème de charge Analyse des zones profondes Dégénération de l'oxyde de grille par effet d'irradiation
EBAC	<ul style="list-style-type: none"> Sites défaillants à haute résistance Circuits ouverts d'interconnexion Court-circuit Défauts d'oxyde et fuite de grille 	<ul style="list-style-type: none"> Requiert deux sondes pour les défauts à forte résistance Dégénération par effet d'irradiation pour les fortes énergies du faisceau d'électron
OBIC	<ul style="list-style-type: none"> ESD/EOS Courants de fuite Court-circuit Dégénération de jonction Sensibilité au latch-up Basculement logique 	<ul style="list-style-type: none"> Faible résolution due à la largeur du faisceau Préparation de l'échantillon: L'analyse OBIC en face arrière nécessite un polissage du substrat pour réduire la diffusion du faisceau lumineux infrarouge scanné.
OBIRCH	<ul style="list-style-type: none"> Court-circuit 	<ul style="list-style-type: none"> Sensibilité de détection des faibles tensions et courants
LIVA	<ul style="list-style-type: none"> Circuit ouvert Dégénération de jonction Basculement logique de transistor 	<ul style="list-style-type: none"> LIVA exige que les connexions électriques soient maintenues sur le composant, donc si le processus de préparation de l'échantillon et d'ouverture en face arrière endommage l'interconnection, LIVA ne peut pas être appliquée
TIVA	<ul style="list-style-type: none"> Court-Circuit Défaut des pistes métalliques et les via 	<ul style="list-style-type: none"> Sensibilité à l'émissivité et Niveau de bruit Elle se base sur une polarisation à courant constant, cependant le bon fonctionnement des composants exige en général une source de tension constante.
SEI	<ul style="list-style-type: none"> Circuit ouvert 	<ul style="list-style-type: none"> Fort contraste qui peut masquer les défauts
PEM	<ul style="list-style-type: none"> Défaillance de la jonction PN Fuite d'oxyde Ionisatior d'impact Filament de contact Latch-up 	<ul style="list-style-type: none"> Défaut qui n'émet pas de lumière Présence des couches de métallisation et jonctions enterrées Préparation d'échantillon Sensibilité du détecteur



Modification d'un microscope : SPEM



Acquisition de l'image de PEM

Traçage automatique de la droite de diffraction

Extraction du profil d'intensité

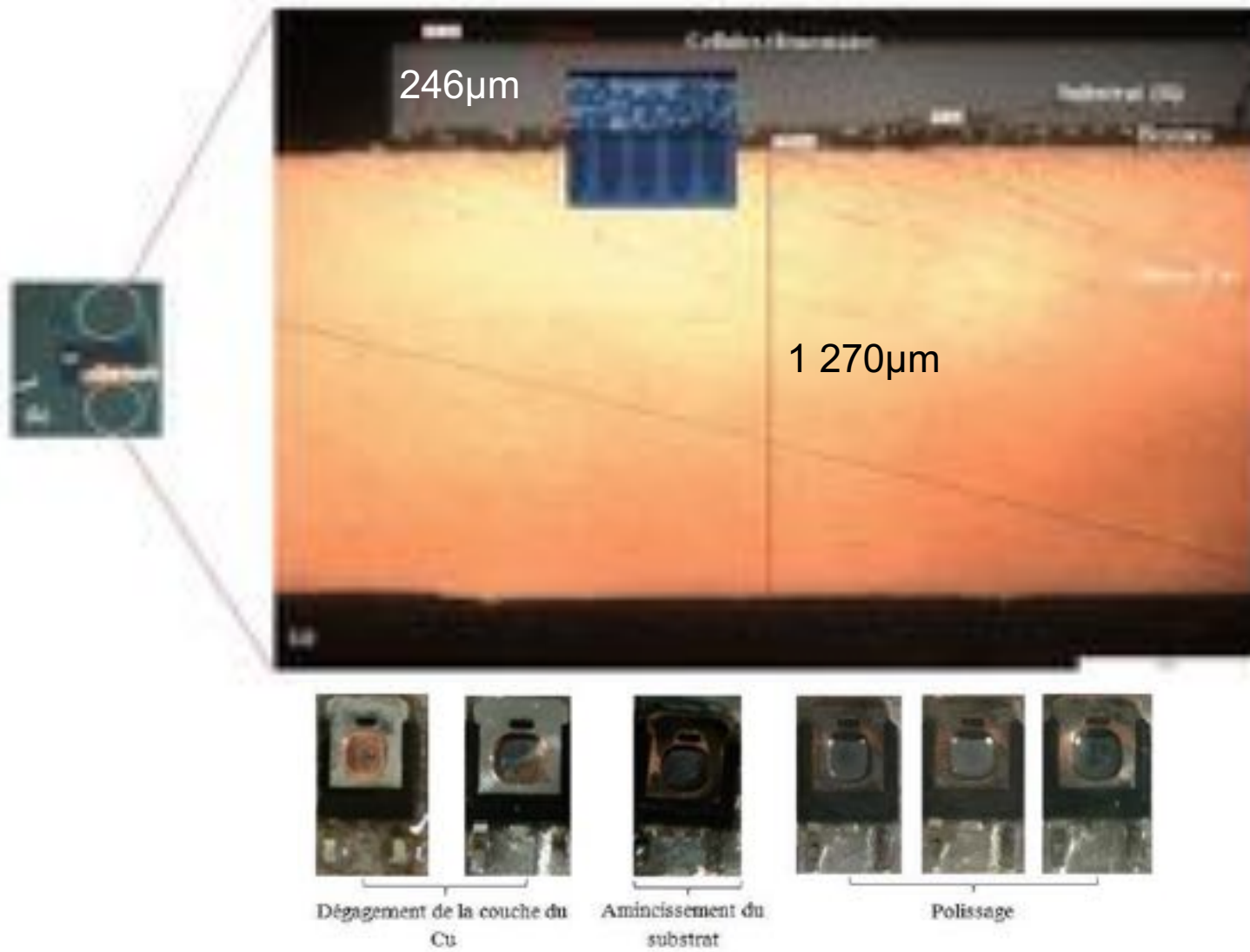
Conversion du profil d'intensité en un spectre selon la loi linéaire de calibration

Correction du spectre selon la réponse de la caméra Si-CCD

Extraction des gaussiennes à partir du spectre avec l'algorithme de Levenberg Marquardt

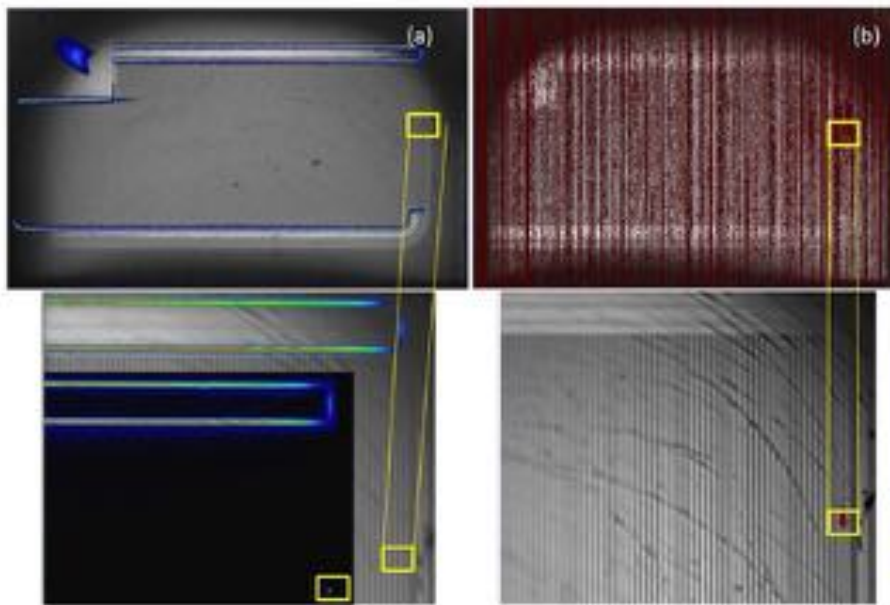
Corrélation du spectre avec le mécanisme de défaillance

Préparation face arrière



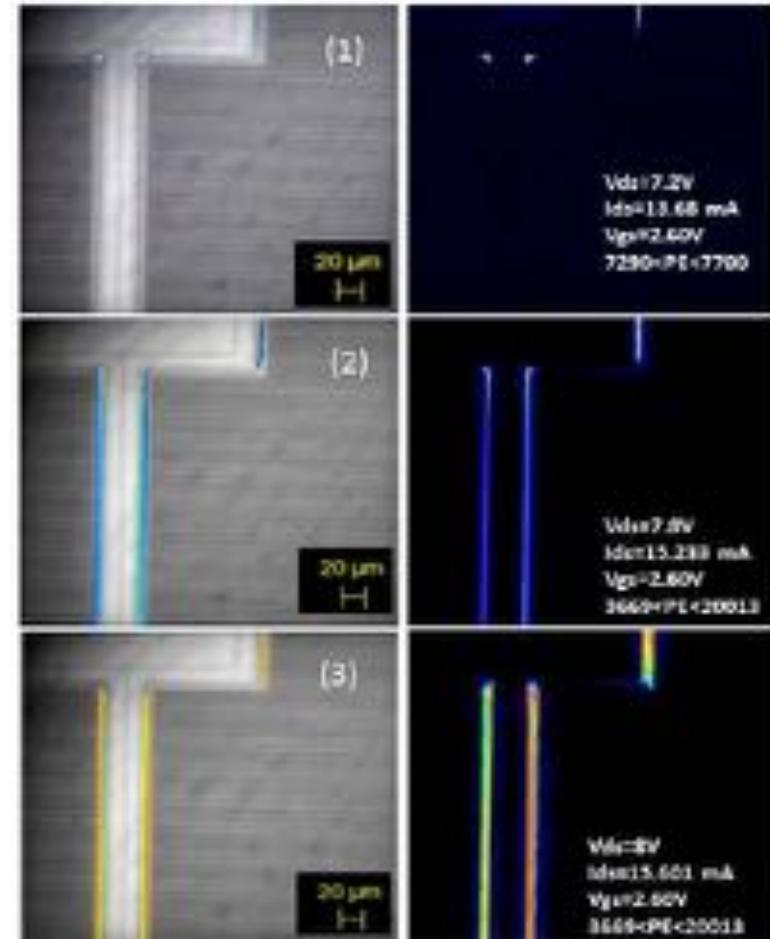
Localisation de défauts sur un MOSFET

Localisation d'un défaut ponctuel
sur un MOSFET stressé par ESD
(HBM 15kV)



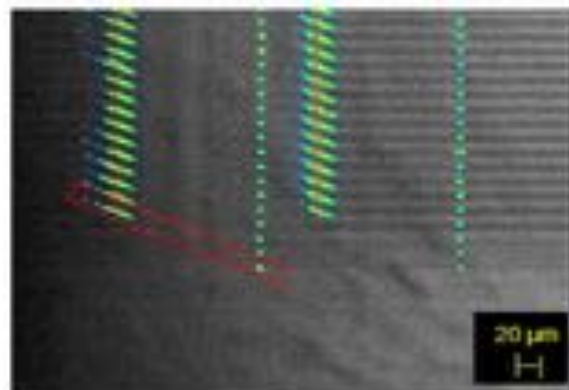
Microscope à
émission de photons

OBIRCH



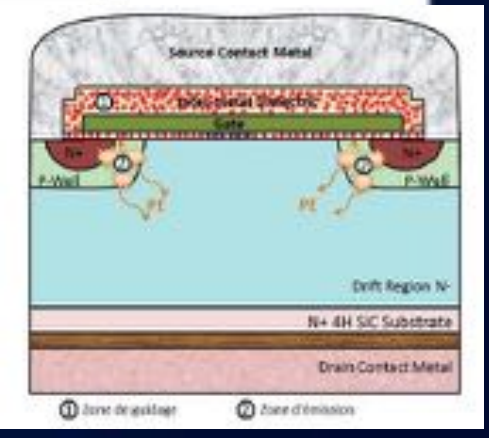
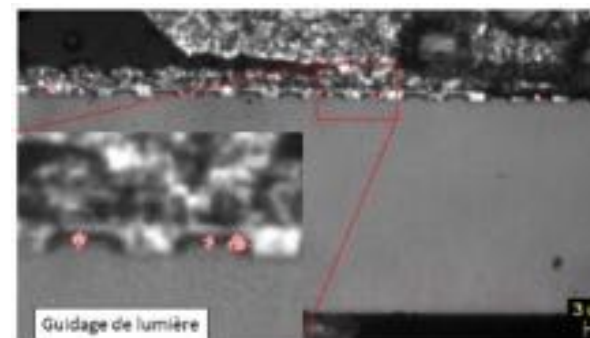
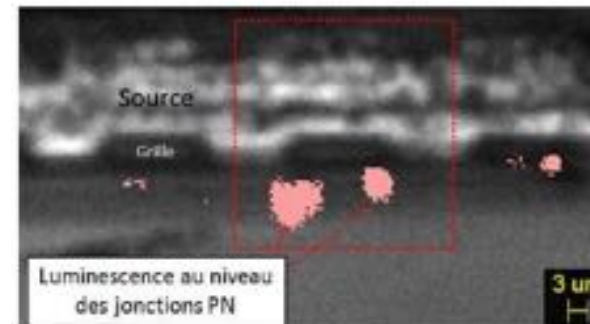
Localisation de défauts sur un MOSFET

Face arrière

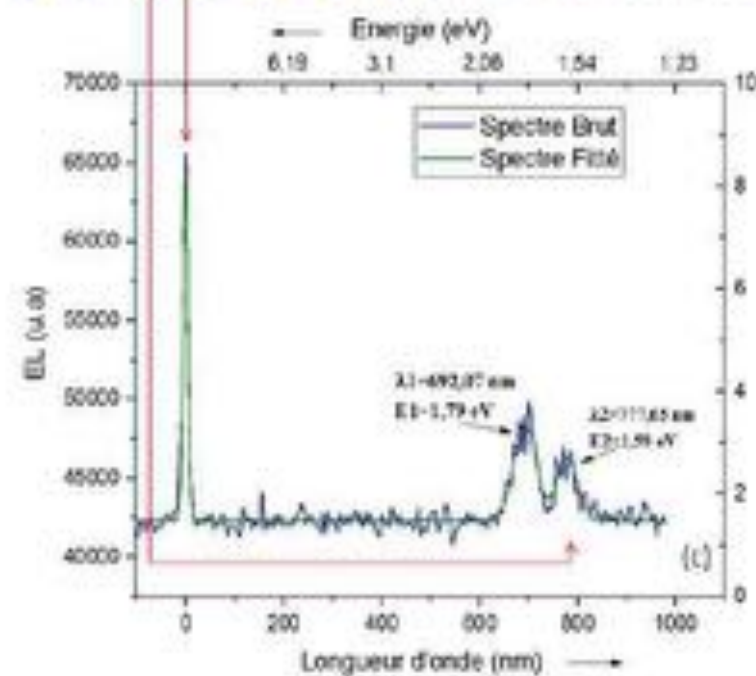
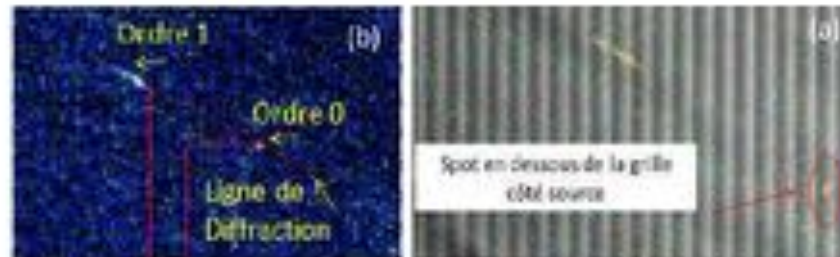
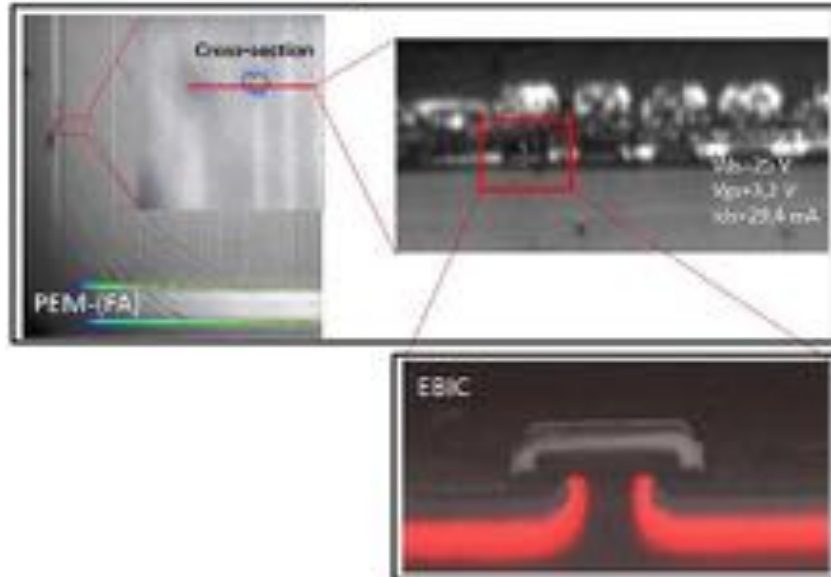
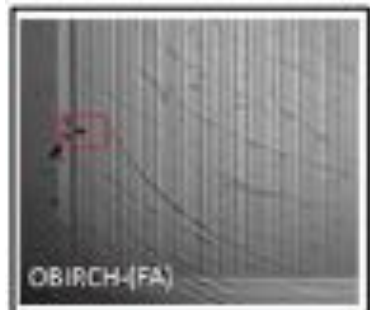


Original EMMI spot	Spectral mapping
•	Peak near spot = Diode in forward
•	Comet like = MOS in saturation or thermal
•	Flat shape = NMOS in intermediate state

Section droite

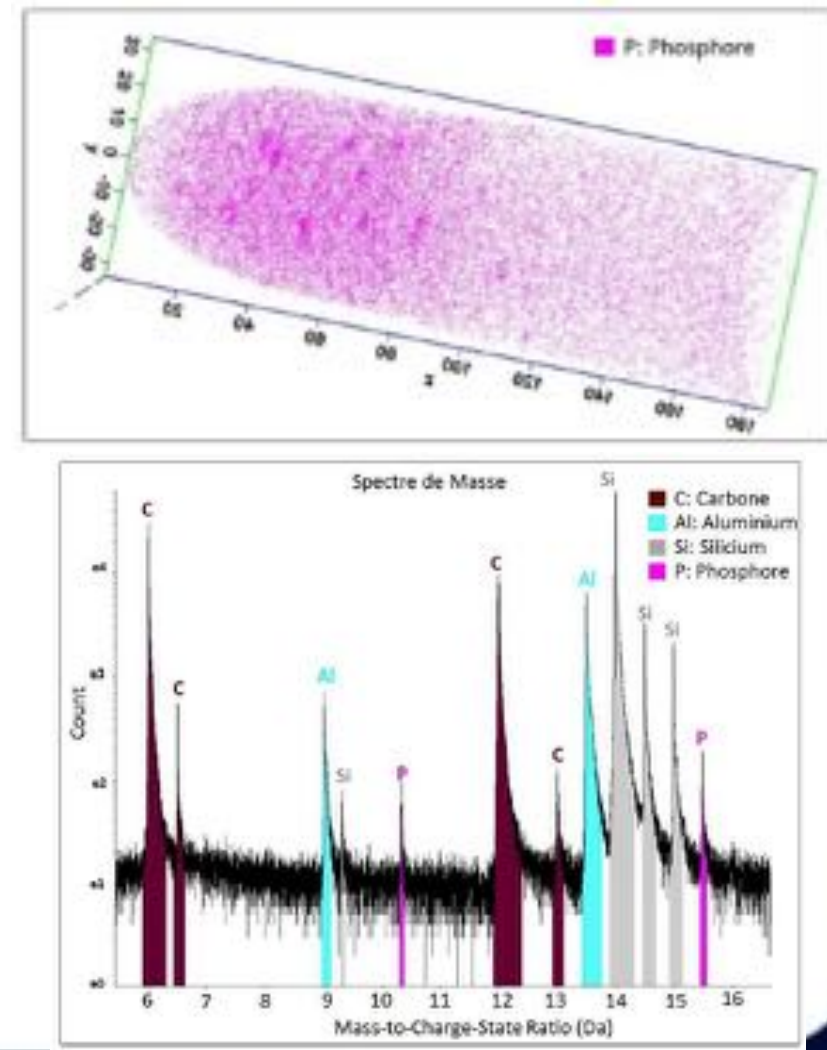
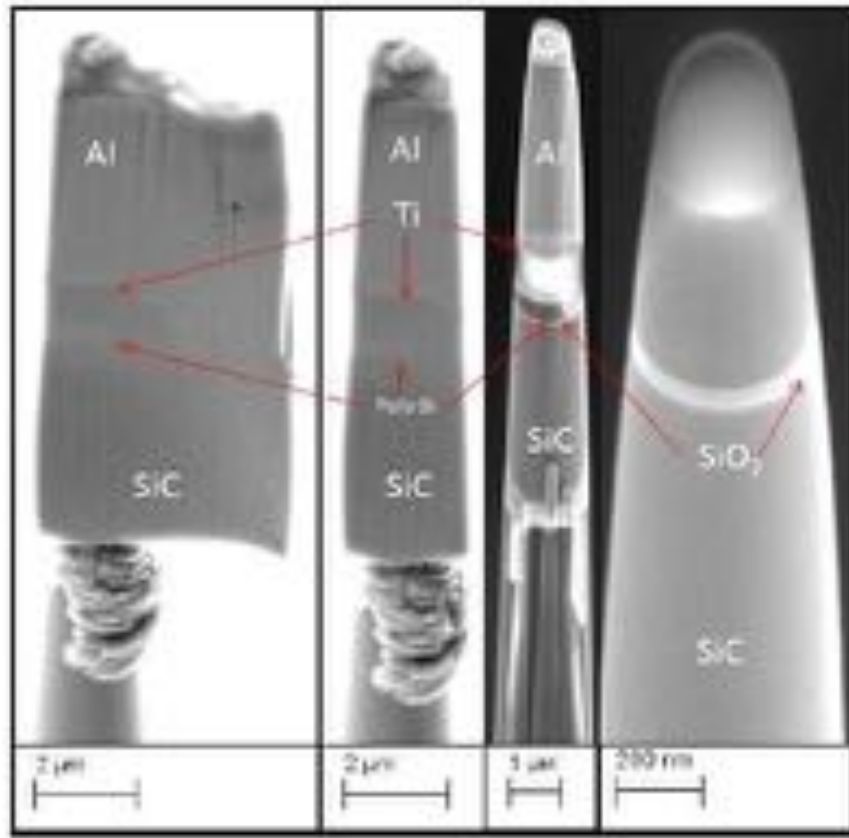


Localisation de défauts sur un MOSFET



Localisation de défauts sur un MOSFET

Mise en évidence du phosphore dans les caissons N+



Rapport des échelles

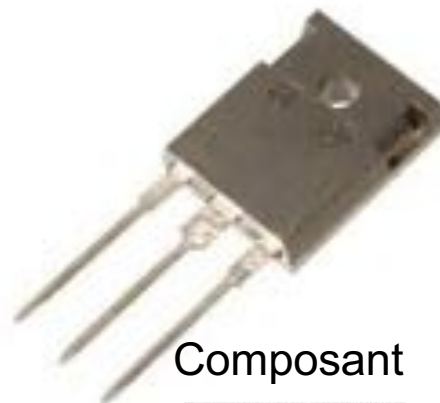
Stade de France

1 000 m



Boîtier TO 247

20 mm

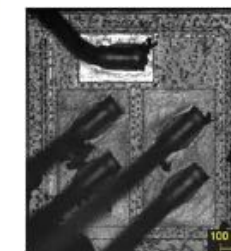


Pelouse

119 m

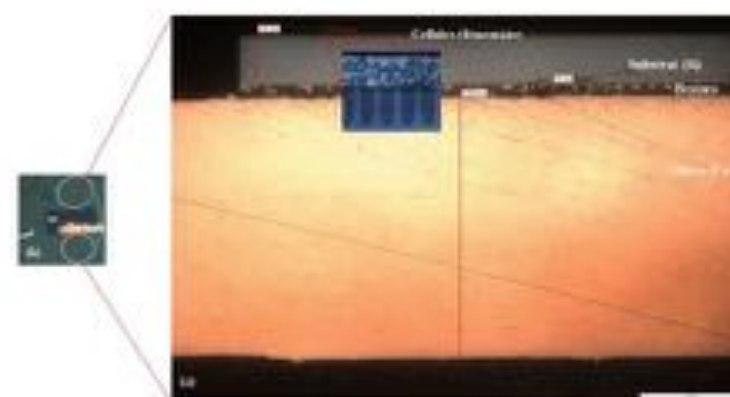


Composant



2,38 mm

63 m



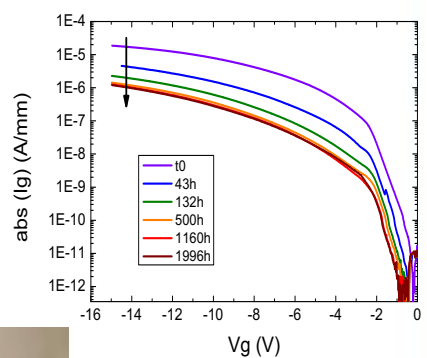
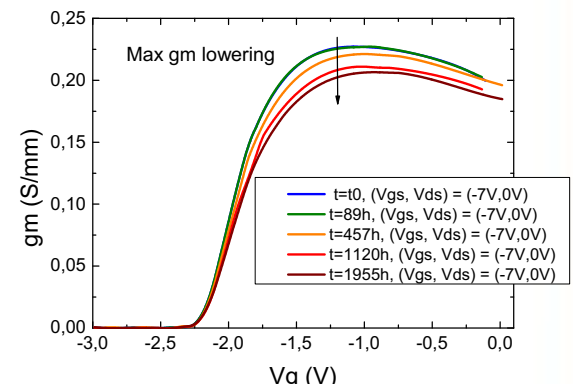
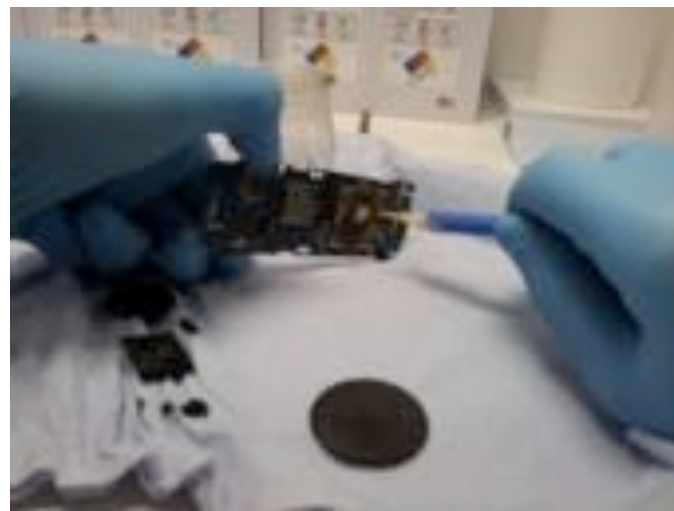
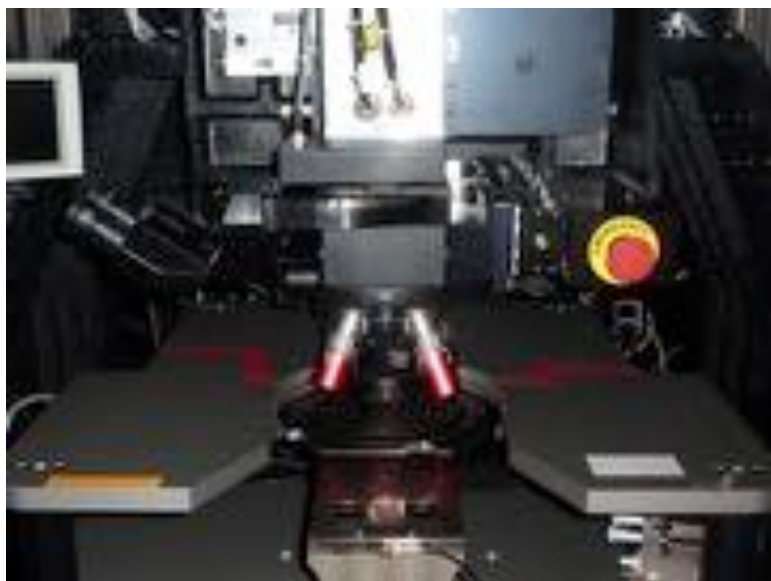
SiC

246 μm

Cuivre

1 270 μm

Thank you for your attention Merci pour votre attention



- [1] N. Moultif, "Analyse de défaillance dans les transistors de puissance grand gap par électroluminescence spectrale," 2017.
- [2] N. Moultif, E. Joubert, and O. Latry, "Reliability Study of Mechatronic Power Components Using Spectral Photon Emission Microscopy," *Adv Electromagn*, vol. 5, no. 3, pp. 20–24, 2016, doi: 10.7716/aem.v5i3.380.
- [3] N. Moultif, E. Joubert, M. Masmoudi, and O. Latry, "Characterization of ESD Stress Effects on SiC MOSFETs Using Photon Emission Spectral Signatures," *2017 Annu Reliab Maintainab Symposium Rams*, pp. 1–7, 2017, doi: 10.1109/ram.2017.7889732.
- [4] N. Moultif, A. Divay, E. Joubert, and O. Latry, "Reliability of High-Power Mechatronic Systems 2," pp. 241–271, 2017, doi: 10.1016/b978-1-78548-261-8.50008-5.
- [5] N. Moultif, M. Masmoudi, E. Joubert, and O. Latry, "Reliability of High-Power Mechatronic Systems 2," pp. 155–197, 2017, doi: 10.1016/b978-1-78548-261-8.50005-x.
- [6] N. Moultif, E. Joubert, M. Masmoudi, and O. Latry, "Characterization of HTRB stress effects on SiC MOSFETs using photon emission spectral signatures," *Microelectron Reliab*, vol. 76, pp. 243–248, 2017, doi: 10.1016/j.microrel.2017.07.013.
- [7] N. Moultif, E. Joubert, and O. Latry, "SiC MOSFET robustness to ESD study: Correlation between electrical and spectral photo-emission characterizations," *2018 19th IEEE Mediterranean Electrotechnical Conference (MELECON)*, pp. 260–264, 2018, doi: 10.1109/melcon.2018.8379104.
- [8] W. Jouha, "Etude et modélisation des dégradations des composants de puissance grand gap soumis à des contraintes thermiques et électriques," 2019.
- [9] W. Jouha, P. Dherbecourt, E. Joubert, and A. E. Oualkadi, "Static Behavior Analysis of Silicon Carbide Power MOSFET for Temperature Variations," *2016 Int Conf Electr Information Technologies Iciet*, pp. 276–280, 2016, doi: 10.1109/eitech.2016.7519605.
- [10] W. Jouha, A. E. Oualkadi, P. Dherbécourt, E. Joubert, and M. Masmoudi, "A New Extraction Method of SiC Power MOSFET Threshold Voltage Using a Physical Approach," *2017 Int Conf Electr Information Technologies Iciet*, pp. 1–6, 2017, doi: 10.1109/eitech.2017.8255289.
- [11] W. Jouha, A. E. Oualkadi, P. Dherbécourt, E. Joubert, and M. Masmoudi, "Silicon Carbide Power MOSFET Model: An Accurate Parameter Extraction Method Based on the Levenberg Marquardt Algorithm," *ieee T Power Electr*, vol. 33, no. 11, pp. 9130–9133, 2018, doi: 10.1109/tpel.2018.2822939.
- [12] P. Dherbecourt *et al.*, "New Technologies of Power Transistors for Efficiency Increase of Power Converters: The Reliability Consideration," 2019, doi: 10.4108/eai.24-4-2019.2284211.
- [13] W. Jouha, A. E. Oualkadi, P. Dherbécourt, M. Masmoudi, and E. Joubert, "In-depth analysis of the static behaviour of a SiC MOSFET and of its associated parameters using both compact modelling and physical simulation," *Iet Circuits Devices Syst*, vol. 14, no. 2, pp. 222–228, 2020, doi: 10.1049/iet-cds.2018.5509.
- [14] W. Jouha, M. Masmoudi, A. E. Oualkadi, E. Joubert, and P. Dherbécourt, "Physical Study of SiC Power MOSFETs Towards HTRB Stress Based on C-V Characteristics," *ieee T Device Mat Re*, vol. 20, no. 3, pp. 506–511, 2020, doi: 10.1109/tdmr.2020.2999029.
- [15] S. Mbarek, "Fiabilité et analyse physique des défaillances des composants électroniques sous contraintes électro-thermiques pour des applications en mécatronique.," 2017.
- [16] S. Mbarek, F. Fouquet, P. Dherbecourt, M. Masmoudi, and O. Latry, "Gate oxide degradation of SiC MOSFET under short-circuit aging tests," *Microelectron Reliab*, vol. 64, pp. 415–418, 2016, doi: 10.1016/j.microrel.2016.07.132.
- [17] S. Mbarek, P. Dherbécourt, O. Latry, and F. Fouquet, "Short-circuit robustness test and in depth microstructural analysis study of SiC MOSFET," *Microelectron Reliab*, vol. 76, pp. 527–531, 2017, doi: 10.1016/j.microrel.2017.07.002.
- [18] J.S. Duguay, A. Echeverri, C. Castro, and O. Latry, "Evidence of Mg segregation to threading dislocation in normally-off GaN-HEMT," *IEEE Transactions on Nanotechnology*, pp. 1–1, 2019, doi: 10.1109/tnano.2019.2942400.